

## СОДЕРЖАНИЕ

|  |     |  |    |
|--|-----|--|----|
| <b>Условные сокращения</b> .....   | 6   | 2.3.2. Ветряночный энцефалит (Марченко Н. В., Алиев Р. В., Шевченко Е. Ю., Скрипченко Е. Ю.) .....   | 62 |
| <b>Введение</b> (Марченко Н. В., Вильниц А. А., Скрипченко Н. В., Скрипченко Е. Ю.).....   | 9   | 2.3.3. Энцефалит, вызванный вирусом Эпштейна – Барр (Марченко Н. В., Дубицкий Д. Л., Шевченко Е. Ю.) .....   | 65 |
| <b>Эпидемиология и этиология нейроинфекций головного мозга у детей</b> (Марченко Н. В., Вильниц А. А., Горелик Е. Ю., Скрипченко Н. В., Скрипченко Е. Ю.) .....  | 11  | 2.3.4. Цитомегаловирусный энцефалит (Марченко Н. В., Алиев Р. В., Новокшонов Д. Ю., Шевченко Е. Ю.) .....  | 70 |
| <b>Глава 1.</b> Методы исследований при нейроинфекциях головного мозга у детей.....  | 16  | 2.3.5. Энцефалит, вызванный вирусом герпеса 6-го типа (Марченко Н. В., Шевченко Е. Ю.) .....   | 74 |
| 1.1. Ультразвуковая диагностика (Марченко Н. В., Бедова М. А., Васильева Ю. П., Войтенков В. Б., Климкин А. В.) .....  | 16  | 2.3.6. Энтеровирусный (неполио-) энцефалит (Марченко Н. В., Алиев Р. В., Дубицкий Д. Л.) .....   | 76 |
| 1.2. Компьютерная томография (Марченко Н. В., Алиев Р. В., Дубицкий Д. Л., Новокшонов Д. Ю., Шевченко Е. Ю.) .....   | 21  | 2.3.7. Коревой энцефалит (Марченко Н. В., Дубицкий Д. Л., Климкин А. В., Шевченко Е. Ю.) .....   | 80 |
| 1.3. Магнитно-резонансная томография (Марченко Н. В., Алиев Р. В., Дубицкий Д. Л., Шевченко Е. Ю.) .....   | 24  | 2.3.8. Краснушный энцефалит (Марченко Н. В., Шевченко Е. Ю., Скрипченко Е. Ю.) .....   | 82 |
| <b>Глава 2.</b> Лучевая семиотика менингитов и энцефалитов в остром периоде у детей .....  | 38  | 2.3.9. Клещевой энцефалит (Марченко Н. В., Алиев Р. В., Вильниц А. А., Войтенков В. Б., Горелик Е. Ю., Дубицкий Д. Л., Новокшонов Д. Ю., Скрипченко Е. Ю.) .....       | 82 |
| 2.1. Ультразвуковая семиотика нейроинфекций головного мозга (Марченко Н. В., Васильева Ю. П., Бедова М. А., Войтенков В. Б., Климкин А. В.) .....  | 38  | 2.3.10. ВИЧ-менингоэнцефалит (Марченко Н. В., Дубицкий Д. Л., Шевченко Е. Ю., Скрипченко Е. Ю.) .....  | 85 |
| 2.2. Магнитно-резонансная и компьютерно-томографическая семиотика нейроинфекций головного мозга.....   | 45  | <b>Глава 3.</b> Лучевая семиотика нейроинфекций головного мозга у детей в неактивную фазу (Марченко Н. В., Дубицкий Д. Л., Шевченко Е. Ю.) .....                       | 87 |
| 2.2.1. Магнитно-резонансная и компьютерно-томографическая семиотика инфекционного поражения оболочек головного мозга (Марченко Н. В., Алиев Р. В., Дубицкий Д. Л., Новокшонов Д. Ю., Шевченко Е. Ю.) ..... | 45  | 3.1. Лучевая семиотика последствий энцефалитов (Марченко Н. В., Дубицкий Д. Л., Шевченко Е. Ю.) .....  | 89 |
| 2.2.2. Магнитно-резонансная и компьютерно-томографическая семиотика при вирусных энцефалитах (Марченко Н. В., Алиев Р. В., Дубицкий Д. Л., Новокшонов Д. Ю., Шевченко Е. Ю.) .....                         | 54  | 3.2. Дифференциальная диагностика исходов энцефалитов (Марченко Н. В., Дубицкий Д. Л., Шевченко Е. Ю.) .....   | 89 |
| 2.2.3. Частная магнитно-резонансная и компьютерно-томографическая семиотика нейроинфекций головного мозга у детей .....  | 56  | <b>Глава 4.</b> Оптимизированный алгоритм нейровизуализационной диагностики при подозрении на нейроинфекцию головного мозга у детей .....                              | 98 |
| 2.2.3.1. Герпетический энцефалит (Марченко Н. В., Дубицкий Д. Л., Климкин А. В., Скрипченко Н. В., Скрипченко Е. Ю., Шевченко Е. Ю.) .....   | 56  | 4.1. Нейросонографический алгоритм скрининга при подозрении на менингит или энцефалит у детей (Марченко Н. В., Васильева Ю. П., Вильниц А. А., Скрипченко Н. В.) ..... | 98 |
| <b>Заключение</b> (Марченко Н. В.) .....   | 101 | 4.2. Нейровизуализационный алгоритм при подозрении на менингит или энцефалит у детей (Марченко Н. В., Скрипченко Н. В., Скрипченко Е. Ю.) .....                        | 99 |
| <b>Литература</b> .....  | 101 |  |    |

## ГЛАВА 2

### ЛУЧЕВАЯ СЕМИОТИКА МЕНИНГИТОВ И ЭНЦЕФАЛИТОВ В ОСТРОМ ПЕРИОДЕ У ДЕТЕЙ

Нейровизуализация является обязательным методом диагностики менингитов, энцефалитов и менингоэнцефалитов.

#### 2.1. УЛЬТРАЗВУКОВАЯ СЕМИОТИКА НЕЙРОИНФЕКЦИЙ ГОЛОВНОГО МОЗГА

При бактериальных гнойных менингитах (БГМ) у детей воспаление оболочек происходит в результате проникновения возбудителя в ЦНС через сосудистые сплетения в результате бактериемии и сепсиса [6, 19, 36]. В острой фазе воспаление распространяется преимущественно на мостовые и корковые вены, которые повреждаются больше, чем артерии, что ведет к развитию васкулита, тромбофлебита преимущественно в малых и средних венах и сосудистой окклюзии, развитию корковой ишемии.

При оценке структуры головного мозга методом НСГ в первые 2–3 сут БГМ у 95 % пациентов до 2 лет выявляются УЗ-признаки воспаления оболочек мозга – утолщенные гиперэхогенные борозды с расширенными сосудами. Толщина поясной борозды при БГМ составляет  $2,2 \pm 0,2$  мм, что достоверно отличается от размеров поясной борозды в группе здоровых детей ( $p > 0,005$ ) (рис. 8) [5].

Формула линейной дискриминантной функции (ЛДФ) позволяет рассчитать вероятность выявления УЗ-признаков БГМ в виде утолщения оболочек у пациентов детского возраста с открытым большим родничком [22]:

$$\begin{aligned} \text{ЛДФ1 (без утолщения борозды)} = \\ = -20,6 \pm 28,0 \times \text{толщина борозды (мм)} \end{aligned}$$

$$\begin{aligned} \text{ЛДФ2 (утолщение борозды)} = \\ = -49,1 \pm 43,8 \times \text{толщина борозды (мм)}. \end{aligned}$$

Метод НСГ обладает диагностической способностью с высокой степенью чувствительности при БГМ у детей с открытым большим родничком и может быть рекомендован для использования в практике, особенно в случаях, когда применение диагностической люмбаль-

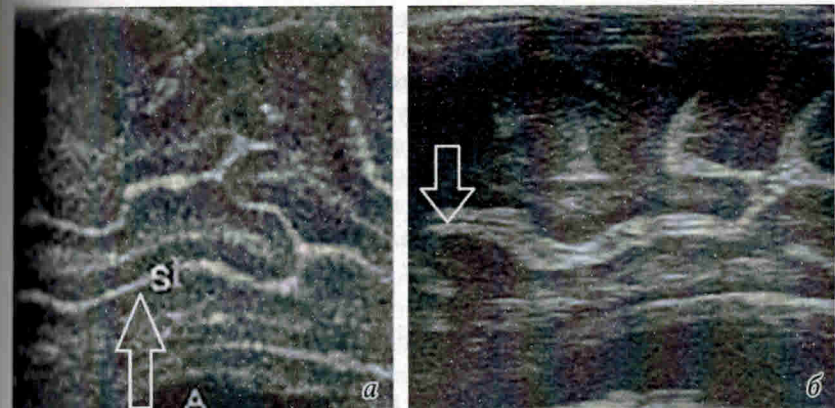


Рис. 8. НСГ, сагиттальная плоскость сканирования S1, В-режим:  
а — норма; б — НСГ пациента Г., возраст 10 мес., диагноз: БГМ гемофильной этиологии. Контурные стрелки указывают на поясную борозду

ной пункции затруднительно (ОГМ, септический шок и др.). В результате НСГ-мониторинга УЗ-признаки утолщения поясной борозды сохраняются до 10–32 дней [5].

При БГМ размеры САП и желудочковой системы могут иметь как нормальные размеры, так и быть увеличены. И только в случаях развития отека ГМ с дислокационным синдромом наблюдается сужение САП, желудочковой системы.

При энцефалитах и МЭ ультразвуковая локация измененной мозговой ткани наиболее информативна при визуализации через открытый большой родничок (рис. 9). УЗ-картина энцефалита характеризуется



Рис. 9. Пациент Б., возраст 1 мес., диагноз: МЭ бактериально-вирусной этиологии. НСГ: а — чрезродничковая фронтальная плоскость сканирования F4, б — чрезродничковая сагиттальная плоскость сканирования S1; в — транскраниальная через височное УЗ-окно, горизонтальная плоскость сканирования Th2. Стрелки указывают на очаги ЭФ в проекциях височной и теменной долей

появлением гиперэхогенных очагов с нечеткими контурами, стяженностю рисунка борозд и извилин.

При локализации воспаления в теменно-височных областях возможно смещение срединных структур по объемному типу. При развитии стволового ЭФ в зоне локации ствола головного мозга теряет четкие контуры, становится гиперэхогенным (рис. 10).

Безопасность и отсутствие лучевой нагрузки позволяют проводить НСГ-мониторинг без ограничений по частоте. Основная цель НСГ-мониторинга – своевременное выявление осложненного течения БГМ, МЭ, ЭФ.

Одними из наиболее грозных осложнений БГМ, МЭ, ЭФ являются **отек головного мозга (ОГМ)** и **дислокационный синдром**.

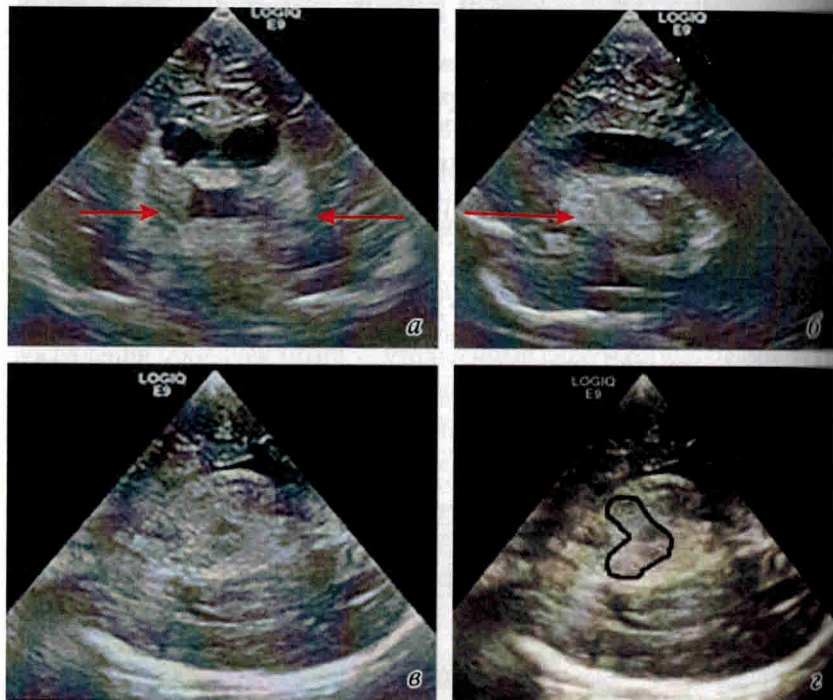


Рис. 10. Пациент Л., возраст 1 год 3 мес., диагноз: вирусный ЭФ неясной этиологии. НСГ:

*a* – чрезродничковая фронтальная плоскость сканирования F3, *б* – чрезродничковая сагиттальная плоскость сканирования S2. Красные стрелки (*а*, *б*) указывают на очаги ЭФ в проекции таламусов; *в*, *г* – транскраниальная через височное УЗ-окно, горизонтальная плоскость сканирования Th0. Стволовой ЭФ.

Объяснения в тексте

(1,2 %) (рис. 11), клинически проявляющиеся различной степенью нарушения сознания и судорогами, преимущественно генерализованными тонико-клоническими. УЗ-признаками ОГМ являются уплотненность рисунка борозд и извилин, «печеночный» рисунок патологичны (рис. 11, *а*, обозначено голубыми треугольниками), компрессия САП желудочковой системы (рис. 11, *а*, обозначено красными стрелками), цистерн (рис. 11, *б*, обозначено черной стрелкой). Деформация рисунка ножек мозга (рис. 11, *в*, обозначено белыми стрелками) и паттерн реверберации (рис. 11, *д*) свидетельствуют о необратимости развития дислокационного синдрома.

ОГМ и дислокационный синдром при БГМ, МЭ, ЭФ у детей всегда сопровождаются развитием синдрома ВЧГ. Своевременная оценка стадии компенсации синдрома ВЧГ определяет не только терапевтическую тактику ведения пациентов с нейроинфекцией, но и прогноз

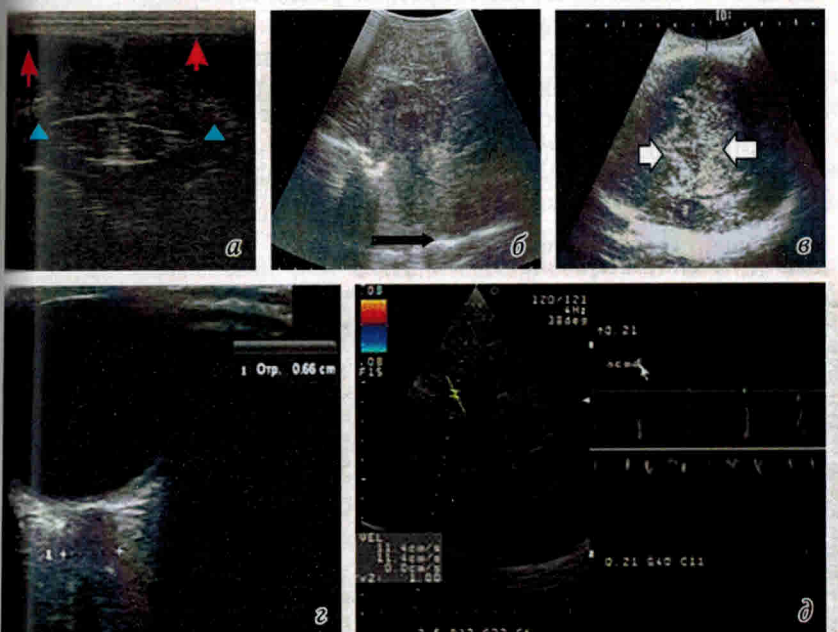


Рис. 11. Пациентка П., возраст 8 мес., диагноз: МЭ, осложненный ОГМ, дислокационным синдромом. НСГ:

*а* – чрезродничковая фронтальная плоскость сканирования F3, *б* – чрезродничковая сагиттальная плоскость сканирования S0; *в* – транскраниальная через височное УЗ-окно, горизонтальная плоскость сканирования Th0; *г* – утолщение ЗН; *д* – НСГ + режим ЦДК.

Объяснения в тексте

течения и исхода заболевания. При ВЧГ в стадии компенсации размеры зрительного нерва у детей в возрасте 1 мес. – 5 лет составляют до 5,5 мм, в возрасте от 5 до 17 лет – до 5,8 мм. При декомпенсации синдрома ВЧГ при УЗ-мониторинге наблюдается нарастание размеров толщины зрительного нерва ( $6,5 \pm 0,43$  мм), потеря четкости контуров (рис. 11, г) [6, 18, 21].

Одним из осложнений БГМ, МЭ и энцефалита является **окклюзионная гидроцефалия** (рис. 12), развивающаяся у 1,8–2,6 % пациентов с нейроинфекциями в сроки на  $15 \pm 3$  день, клинически проявляется глубоким нарушением сознания, развитием генерализованных судорог [4, 6].

Одним из осложнений БГМ является **вентрикулит** (рис. 13), который развивается на  $3 \pm 0,75$  день НСГ-мониторинга и сохраняется до  $18,6 \pm 0,9$  дней. Для первичного вентрикулита характерны нарастающая головная боль, многократная рвота, лихорадка, учащение пульса, развитие двигательного возбуждения с развитием клонико-тонических судорог, стремительным развитием менингеальных симптомов и угнетения сознания, быстрым присоединением дыхательных и сердечно-сосудистых нарушений.

УЗ-признаками вентрикулита является утолщение эпендимы до 2–3 мм (рис. 13, а, обозначено стрелкой), гиперэхогенные включения и «перемычки» в просвете боковых желудочков (рис. 13, б, обозначено треугольником).

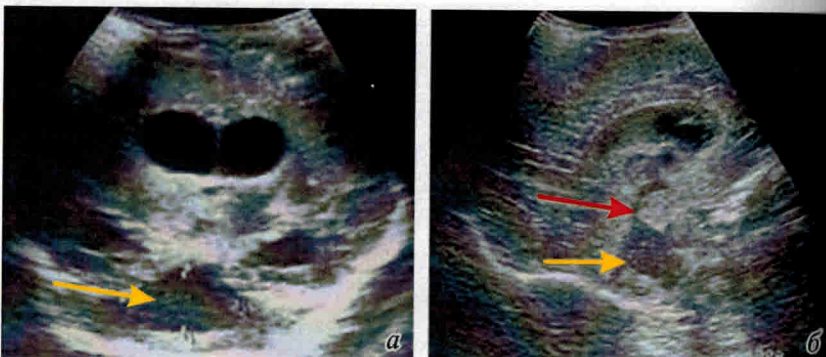


Рис. 12. Пациент Г., возраст 1 мес., диагноз: вирусный ЭФ неясной этиологии, осложненный многоуровневой окклюзионной гидроцефалией. НСГ: а – фронтальная плоскость сканирования F4; б – сагиттальная плоскость сканирования S0. Окклюзия на уровне сильвиева водопровода (красная стрелка) с формированием тривентрикуломегалии; на уровне отверстий Люшка и Мажанди с формированием изолированного IV желудочка (желтые стрелки)

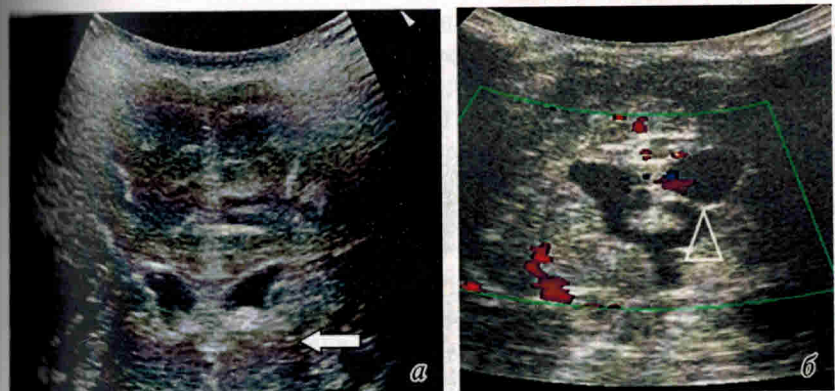


Рис. 13. НСГ-картина пациента с вентрикулитом: а, б – фронтальная плоскость сканирования F3. Объяснения в тексте

Наиболее частым осложнением БГМ (22–40 %) [5, 6] является формирование **субдурального выпота** (СДВ), особенно у детей раннего возраста (рис. 14). Несвоевременная его диагностика может даже привести к летальному исходу. СДВ формируются в сроки от 3 до 16 дней ( $9,7 \pm 1,2$  мм). К УЗ-признакам СДВ относятся: расширение ДКМ за счет анэхогенного содержимого (рис. 14, а, б, в, обозначено белыми ромбами); отсутствие кровотока в проекции подоболочечного скопления по данным ЦДК; Т-образная форма

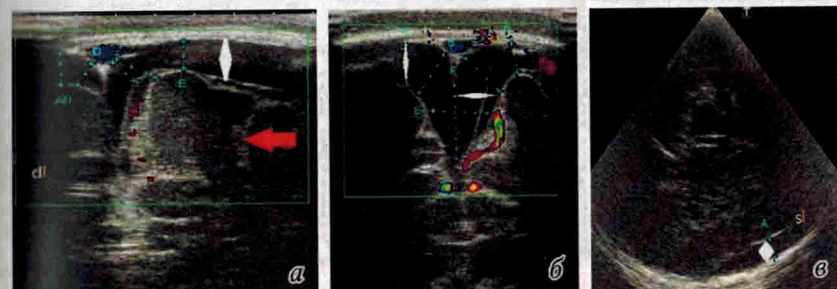


Рис. 14. Пациент П., возраст 9 мес., диагноз: БГМ гемофильной этиологии, осложненный субдуральным выпотом. НСГ: а – фронтальная плоскость сканирования F3. В + ЦДК режим. Односторонний СДВ на 4-е сутки НСГ-мониторинга; б – двусторонний СДВ на 6-е сутки НСГ-мониторинга; в – транскраниальная НСГ через височное УЗ-окно, горизонтальная плоскость сканирования Th1–2. Объяснения в тексте

компримированных борозд (рис. 14, а, обозначено красной стрелкой), компрессия гомолатерального бокового желудочка.

Размеры СДВ, полученные при исследовании через большой родничок, составляют от 6 до 8 мм ( $6,5 \pm 0,25$  мм). В 58 % случаев отмечается двустороннее формирование СДВ в лобно-теменно-височных областях. При оценке САП через открытый большой родничок у 28 % при локализации СДВ в теменно-височной области размеры САП не отличаются от нормы, что подтверждает необходимость полипозиционного исследования не только через большой родничок, но и через височное УЗ-окно. При НСГ-мониторинге УЗ-признаки СДВ наблюдаются в течение  $89,5 \pm 24,3$  дней (12 дней – 7 мес.).

В результате НСГ-мониторинга у 12 % пациентов с осложненным течением на  $12 \pm 2,2$  день болезни выявляются **кистозно-слипчивые изменения** в мягкой и арахноидальной оболочке головного мозга (рис. 15).

УЗ-признаками кистозно-слипчивых изменений оболочек головного мозга являются: утолщенные неоднородные борозды, в просвете которых визуализируются расширенные сосуды; САП имеет вид «пчелиных сот» – на фоне гиперэхогенного/гетероэхогенного САП лоцируются множественные полости округлой и овальной формы с анэхогенным содержимым разной формы и размеров (2–7 мм). По данным НСГ-мониторинга, кистозно-слипчивые изменения оболочек головного мозга сохраняются до  $95,3 \pm 18,4$  дней (1–11 мес.).

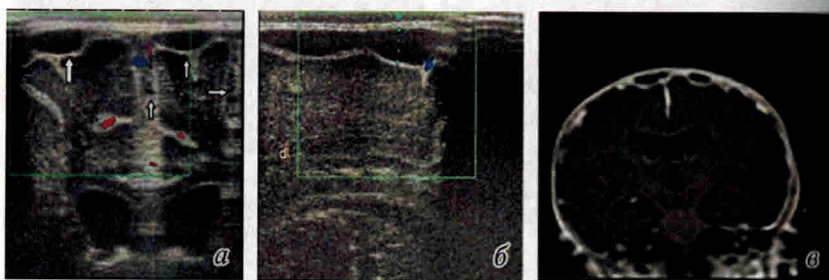


Рис. 15. Пациентка Т., возраст 7 мес., диагноз: БГМ гемофильной этиологии. Кистозно-слипчивые изменения оболочек головного мозга (указаны белыми стрелками):

а, б – НСГ, В + ЦДК режим (а – фронтальная плоскость сканирования F3; б – сагиттальная плоскость сканирования S1); в – МРТ ГМ, Т1-ВИ.

Объяснения в тексте

## 2.2. МАГНИТНО-РЕЗОНАНСНАЯ И КОМПЬЮТЕРНО-ТОМОГРАФИЧЕСКАЯ СЕМИОТИКА НЕЙРОИНФЕКЦИЙ ГОЛОВНОГО МОЗГА

### 2.2.1. Магнитно-резонансная и компьютерно-томографическая семиотика инфекционного поражения оболочек головного мозга

**Бактериальные гнойные менингиты (БГМ)** – группа заболеваний, имеющих сходные клинические и патоморфологические проявления, характеризуемые сочетанием системной воспалительной реакции с воспалительным процессом в мягких мозговых оболочках в ответ на инвазию различных бактериальных агентов.

Гнойное воспаление ЦНС связано с высокой смертностью и заболеваемостью во всех группах населения. Ранняя диагностика и лечение бактериального гнойного менингита и абсцесса головного мозга (как возможного осложнения) способствуют улучшению исходов заболевания [6, 20, 30, 35].

Заболеваемость БГМ зависит от региональных особенностей, социальных условий и наличия специфической профилактики инфицирования наиболее частыми возбудителями БГМ в той или другой стране. Общая заболеваемость БГМ колеблется от 2–5 случаев в развитых странах до 40–100 и более на 100 тыс. населения в странах «менингитного пояса» на Африканском континенте. В Российской Федерации заболеваемость БГМ у детей до 18 лет составляет 4–6 случаев на 100 тыс. Помимо острых форм выделяют затяжное (до 3 мес.), хроническое (более 3 мес.), рецидивирующее и осложненное течение бактериальных гнойных менингитов. Основные патоморфологические изменения при гнойном менингите затрагивают мягкую и паутинную оболочки. В зависимости от возраста ребенка этиологический спектр инфекционных агентов изменяется. В частности, у детей старше 5 лет преобладают *Neisseria meningitidis* и *Streptococcus* [6, 20, 30, 35].

При БГМ поражение всегда сопряжено с тяжелым течением инфекции, развитием осложнений, таких как отек мозга, васкулит, инфаркт, эпендимит, что приводит к деструктивным изменениям. Иногда воспаление в оболочках может контактно переходить на parenхиму мозга, являясь причиной очаговых симптомов. Развитие инфаркта вещества головного мозга при менингите является тяжелым осложнением. Среди пациентов с бактериальным менингитом инсульт может осложняться в 17–43 % случаев. Дети наиболее

### 2.3.8. Краснушный энцефалит

Краснушный энцефалит вызывается РНК-вирусом *Rubella virus* (семейство *Togaviridae*). Заболеваемость краснухой в последнее десятилетие резко сократилась, что связано с внесением вакцинации против этой инфекции в Национальный календарь прививок. Всего в РФ в 2017 г. было зарегистрировано 6 случаев, а показатель заболеваемости составил 0,01 на 100 тыс. детей до 17 лет. Ранее преимущественно болели дети в возрасте 2–4 лет. Выделяют врожденные и приобретенные формы краснушного ЭФ. Врожденный краснушный энцефалит характеризуется как развитием некрозов, так и дисмиелинизации мозговой ткани. Приобретенный краснушный энцефалит возникает преимущественно у дошкольников, чаще на 3–5-й день высыпаний, реже – на 9–15-е сутки или предшествует появлению сыпи за 1–2 дня. Характерно острое начало: лихорадка, сильная головная боль, рвота, нарушение сознания от оглушенности до комы. Типично развитие преимущественно серийных эпилептических припадков. Длительность тяжелого судорожно-коматозного статуса может колебаться от нескольких часов до 1–2 сут и более. В первые сутки присоединяются диффузные или очаговые симптомы поражения ЦНС (гиперрефлексия, мышечный гипертонус, миоклонии, хореотетоз, парезы, мозжечковые расстройства).

МР-картина поражения головного мозга при краснушном МЭ неспецифична. Отмечается появление очагов различной локализации с нечеткими контурами и преимущественным расположением в белом веществе. В остром периоде визуализируется накопление контрастного вещества в участках поражения. Так же как и при коревой инфекции, при краснухе возможно развитие ПСПЭ. Течение ПСПЭ всегда неблагоприятное – со смертельным исходом через 1,5–2 года [15].

### 2.3.9. Клещевой энцефалит

Клещевой энцефалит (КЭ) – природно-очаговое вирусное, преимущественно трансмиссивное заболевание ЦНС, характеризующееся развитием различных клинических проявлений болезни, среди которых наиболее типичными являются параличи мышц шеи и верхних конечностей. Это заболевание вызывается РНК-содержащим вирусом КЭ, относящимся к семейству *Flaviviridae*, роду *Flavivirus*, экологической группе арбовирусов. Основными переносчиками, хозяевами и долговременными хранителями вируса в природе являются иксодовые клещи – таежный и лесной. Заболевание может проявляться в виде лихорадочной (30–60 %), стертой (10–20 %), менингеальной (28–70 %), менингоэнцефалитической (10–30 %),

полиомиелитической (9–23 %) и других сочетанных форм. Изюминкой локализацией поражения головного мозга при КЭ являются базальные ядра (в том числе зрительные бугры), характеризующиеся в острый период преимущественно асимметричными воспалительно-отечными изменениями с нечеткими контурами. У детей КЭ имеет частую острое течение. Хроническое прогредиентное течение развивается преимущественно при неадекватной терапии и характеризуется нарастанием неврологической симптоматики в течение нескольких месяцев–лет. Заболевание развивается остро и характеризуется подъемом температуры до фебрильных цифр (38–40 °C), развитием судорог, чаще вторично-генерализованного характера. В случае развития двухволнового течения первая волна лихорадки 37,5–37,9 °C длится 2–3 сут и сменяется периодом апирексии длительностью 3–10 дней, который характеризуется улучшением самочувствия, снижением/нормализацией температуры тела, а следом возникает вторая волна лихорадки до 38–40 °C. Характерны нарушения сознания от оглушения до комы, атаксия, развитие гемипарезов, реже отмечается поражение черепных нервов (III, VI, VII пар). Тяжелое течение КЭ сопровождается развитием миоклоний в паретичных конечностях, мимической мускулатуре лица, реже – глазных яблок, в остром периоде заболевания. Как правило, миоклонии распространяются с дистальных отделов конечностей на проксимальные (по гемитипу), иногда усиливаются и перерастают в эпилептический припадок. В данном случае в остром периоде заболевания можно говорить о развитии эпилепсии Кожевникова. Помимо миоклоний возможно развитие хореоатетозных гиперкинезов, торсионной дистонии, а у ряда пациентов возникает акинетико-риgidный синдром. У детей с КЭ дошкольного и школьного возраста развиваются корковые расстройства памяти и речи в виде моторной и сенсорной афазии, нарушения письма и счета, в основном возникающие в остром периоде после глубокого расстройства сознания. Летальность при этой форме КЭ колеблется от 5 до 15 %, тогда как прогредиентное течение встречается у 1–15 %.

В острый ишемический период снижается свободная диффузия воды с повышением МР-сигнала на DWI ( $b > 800 \text{ с/мм}^2$ ) и снижением ADC. Возможно геморрагическое пропитывание в очаги (рис. 27). Также могут быть выявлены очаги в других отделах головного и/или спинного мозга. В некоторых случаях отмечается накопление контрастного вещества в очагах, реже – в оболочках мозга. В этой связи необходимо отметить, что при лечении таких пациентов применяется гормональная терапия (гидрокортизон, дексаметазон), которая уменьшает отечно-воспалительные изменения, стабилизирует

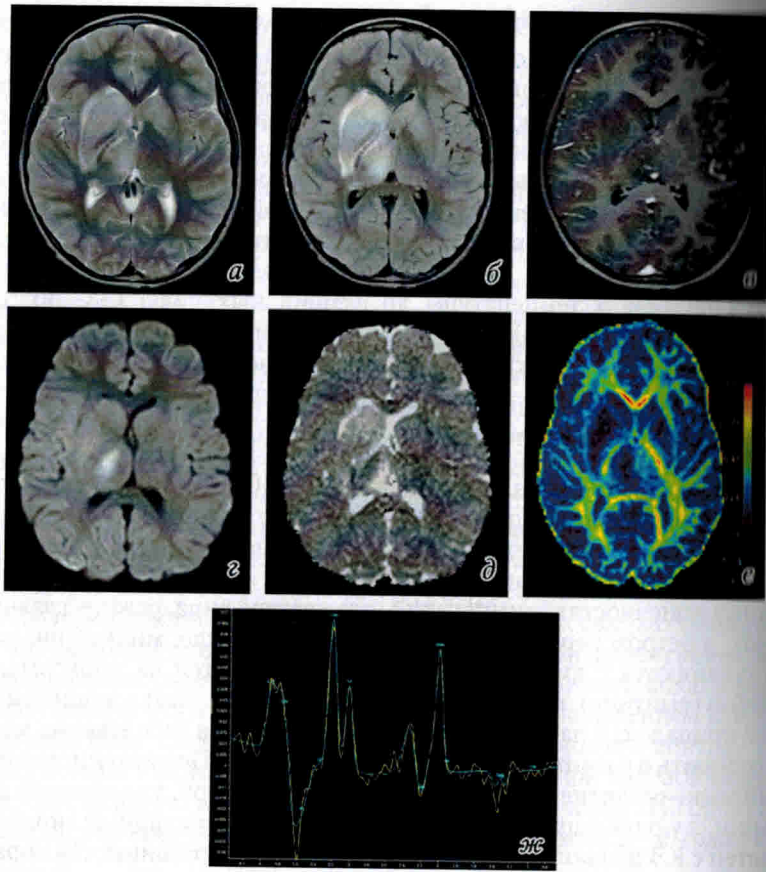


Рис. 27. Пациент Л., возраст 10 лет, диагноз: клещевой энцефалит (укус клеща был за 11 дней до выполнения МРТ). МРТ ГМ:

*a* – Т2-ВИ; *б* – Т2-FLAIR; *в* – постконтрастное Т1-ВИ + С; *г* – DWI ( $b = 1000 \text{ с/mm}^2$ ); *д* – карта ADC; *е* – карта фракционной анизотропии (FA) при DTI; *ж* – MP-спектограмма.

Асимметричное поражение базальных ядер с выраженным отеком, объемным эффектом и вовлечением зрительных бугров (больше справа), без признаков нарушения ГЭБ. В правом таламусе имеется участок более выраженной острой ишемии с ограничением диффузии воды. Также имеются единичные небольшие субкортикальные участки поражения в лобных долях и мозжечке (изображения не представлены). При выполнении DTI фракционная анизотропия в очагах поражения в сером веществе базальных ядер снижена до 0,07 (в неизмененных отделах 0,16). МРС показывает признаки снижения уровня NAA с повышением отношения Cho/NAA, появление отрицательного пика лактата

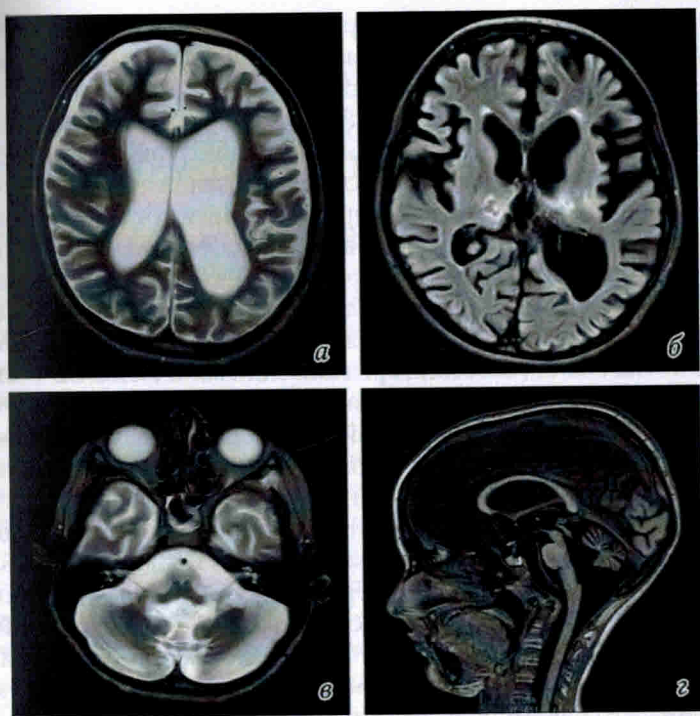


Рис. 28. Пациент У., возраст 8 лет, диагноз: реконвалесцент клещевого энцефалита; клинически сохраняется тетрапарез. МРТ ГМ через 1 год после терапии: *а, в* – Т2-ВИ; *б* – Т2-FLAIR; *г* – Т1-ВИ. Кистозно-глиозные участки в таламусах. Смешанная неоклюзионная гидроцефалия заместительного характера. Визуализируется выраженная субатрофия всех отделов мозга, в том числе ствола и мозжечка

мембранны клеток и приводит к раннему закрытию ГЭБ в стадии острого воспаления [15, 34].

Лечение и восстановление пациентов с КЭ – длительный процесс. Зачастую в мозге длительно визуализируются очаги с формированием кистозно-глиозных изменений и развитием гидроцефалии (рис. 28).

### 2.3.10. ВИЧ-менингоэнцефалит

Неврологические расстройства при ВИЧ-инфекции у детей связаны с прямым цитопатогенным вирусом иммунодефицита человека на нервную систему. Дебют острого ВИЧ-энцефалита всегда сопровождается